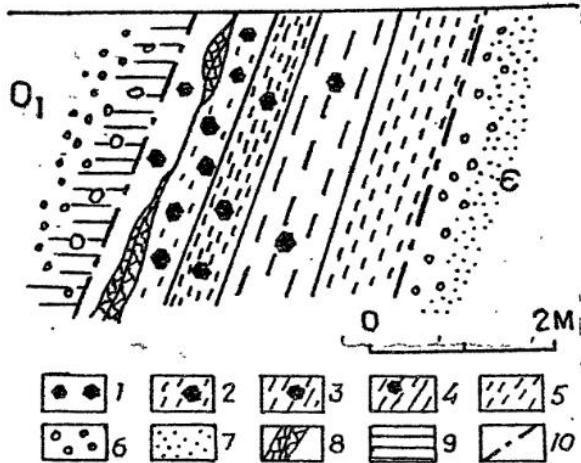


ОБРАЗОВАНИЕ ХЛОРITOИДА В ВЫСОКОГЛИНОЗЕМИСТЫХ  
ПОРОДАХ ПРИПОЛЯРНОГО УРАЛА

Находки хлоритоида на Приполярном Урале в основном приурочены к высоко-глиноzemистым породам, которые связаны с проявлениями кислых вулканитов – липаритов и трахиолипаритов, входящих в состав широко распространенных вулканических толщ позднего докембрия и раннего палеозоя /1/. В частности, хлоритоид обнаружен в пирофиллитовых породах на ручье Алькес-Вож, левом притоке р.Балбанию /3/, в зоне контакта малдинской липаритовой субинтрузии с грубо-обломочными толщами алькесвожской свиты, предположительно венд-кембрийского возраста.

В разрезе обнажения выделены два слоя пород (см. рисунок). Подошвой разреза служат кварц-серicitовые рассланцованные метасоматиты по липаритам. Первый слой – это пирофиллитовые сланцы существенно кремнистого состава. Химический состав сланцев первого слоя, мас. %:  $\text{SiO}_2$  44,12;  $\text{TiO}_2$  0,5;  $\text{Al}_2\text{O}_3$  40,66;  $\text{Fe}_2\text{O}_3 + \text{FeO}$  5,97;  $\text{MgO}$  0,10;  $\text{K}_2\text{O} + \text{Na}_2\text{O}$  0,57. Элементы-примеси: ванадий, хром, никель, цирконий, церий, лантан, бериллий, скандий, ниобий, иттрий, иттербий, рубидий, стронций /3/. В составе слюдистой массы установлены пирофиллит, кианит, гематит и хлоритоид. Хлоритоид выделяется в виде отдельных кристаллов табличатой формы, размерзерен 0,2-0,5 мм. Минерал имеет темную, грязно-зеленую окраску, полупрозрачный. В породе его кристаллы распределены неравномерно, без закономерной пространственной ориентировки. Главные линии на рентгенограмме: 4,44; 2,96; 2,37 Å. Оптические константы:  $n_g = 1,730$ ;  $n_m = 1,720$ ;  $n_p = 1,718$ ,  $N_g < N_m > N_p$ . Для сравнения приводим оптические константы хлоритоида из дистен-хлоритоидных сланцев речки Тимониной, левого притока р. Бол. Каталамбию на Приполярном Урале:  $n_g = 1,725$ ;  $n_m = 1,719$ ;  $n_p = 1,715$ ,  $N_g < N_m > N_p$ .

Второй слой залегает согласно на подстилающих сланцах первого, а кровлей разреза служат средне-мелкогалечные раннеордовикские конгломераты, интенсивно ожелезненные и слабоэпидотизированные в приконтактовой части. Он представлен местами массивной, местами рассланцованной, мелко- и среднезернистой породой, состоящей из коричнево-красного кристаллического пирофиллита. В этом слое фиксируются кварцевые жилы мощностью до 0,5 м с убогой вкрапленностью сульфидов Cu (борнит, халькозин) и малахита. В экзоконтактах кварцевых жил имеются линзы хлоритоидной породы. Ее состав по рентгенофазовому анализу: хлоритоид (90%), пирофиллит и хлорит. В остальной части слоя хлоритоид образует густую вкрапленность в виде таблитчатых гексагональных кристаллов размером 4-5 мм и составляет до 20% и более объема породы. Так же, как и в породах I-го слоя, хлоритоид замещает чешуйчатый пирофиллит и хлорит I-й генерации. Между пирофиллитовыми породами и конгломератами находится прослой пород мощностью 0,3 м, напоминающих вторичные кварциты и состоящих из мелко-зернистого кварца и хлоритоида, который составляет до 25% породы. Можно предположить, что образование хлоритоида в этих отложениях происходило по реакции: пирофиллит + Fe-хлорит = хлоритоид + кварц +  $\text{H}_2\text{O}$ , предложенной Фрейем (1972 г.) и использованной Филиппом /5/ для объяснения происхождения хло-



Литологический разрез проявления пирофиллит-кианит-хлоритоидных пород.

1 - кварц-хлоритоидные породы; 2 - пирофиллит-хлоритоидные породы с кианитом; 3 - пирофиллит-кианитовые породы с хлоритоидом; 4 - пирофиллит-кианитовые сланцы; 5 - кварц-мусковитовые сланцы; 6 - конгломераты; 7 - песчаник; 8 - кварцевые жилы с хлоритоидными породами в экзоконтакте; 9 - зона гематитизации и эпидотизации; 10 - разрывные нарушения

ритоида в пирофиллит-дистеновых породах золотоносного месторождения Витва-терсраид. Он также предполагал, что на процесс образования хлорита в системе влияет величина  $M^{2+}/Fe^{2+}$ . Увеличение отношения дестабилизирует хлоритоид, и при температуре  $350 \pm 50^{\circ}\text{C}$  и давлении 2,5 кбар будет образовываться магнезиально-железистый хлорит. В процессе преобразования глиноzemистых пород выносится не только  $Fe^{2+}$ , но и  $Mg^{2+}$ .

Мы считаем, что появление хлорита в высокоглиноzemистых, метаморфизованных на уровне зеленосланцевой фации терригенно-осадочных породах Приполярного Урала свидетельствует о нестабильных тектонических условиях. В пирофиллитовых породах разреза ручья Алькес-Вож появление хлорита соответствует зоне наиболее сильного дробления и повышенной проницаемости. Наличие в породах этой зоны двух-трех генераций породообразующих минералов указывает на то, что формирование этих пород происходило, по крайней мере, в две стадии: на первой стадии в послеордовикское время в результате регионального зеленосланцевого метаморфизма сформировались пирофиллит первой генерации (возможно, каолинит) и серицит-хлоритсодержащие сланцы; затем, на второй стадии, особенно в узких зонах разломов, породы подверглись воздействию динамометаморфизма и сопутствующего метасоматоза /2/, которые привели к образованию последующих генераций мусковита, хлорита, пирофиллита, а также кианита и хлорита.

#### Список литературы

- Годин Б.А., Дудкин Б.И., Калинин Е.П. и др. Уральская геологическая провинция фарфорового камня: Препринт. Свердловск:УНЦ АН СССР, 1987.
- Зайков В.В., Кораблев Г.Г., Удачин В.Н. Пирофиллитовое сырье палеовулканических областей. М.: Наука, 1989.
- Малюгин А.А., Сорока Е.И., Рябинин В.Ф., Демчук И.Г. Пирофиллитовые породы Приполярного Урала // Ежегодник-1989 // Ин-т геологии и геохимии УНЦ АН СССР. Свердловск, 1990. С.45.

4. Тимонина Р.Г. Петрология метаморфических пород Приполярного Урала. Л.: Наука, 1980.

5. Phillips G.N. Widespread fluid infiltration during metamorphism of the Witwatersrand goldfield: generation of chloritoid and pyrophillite // Metamorphic Geology. 1988. Vol. 6, N 3. P.311-332.

---